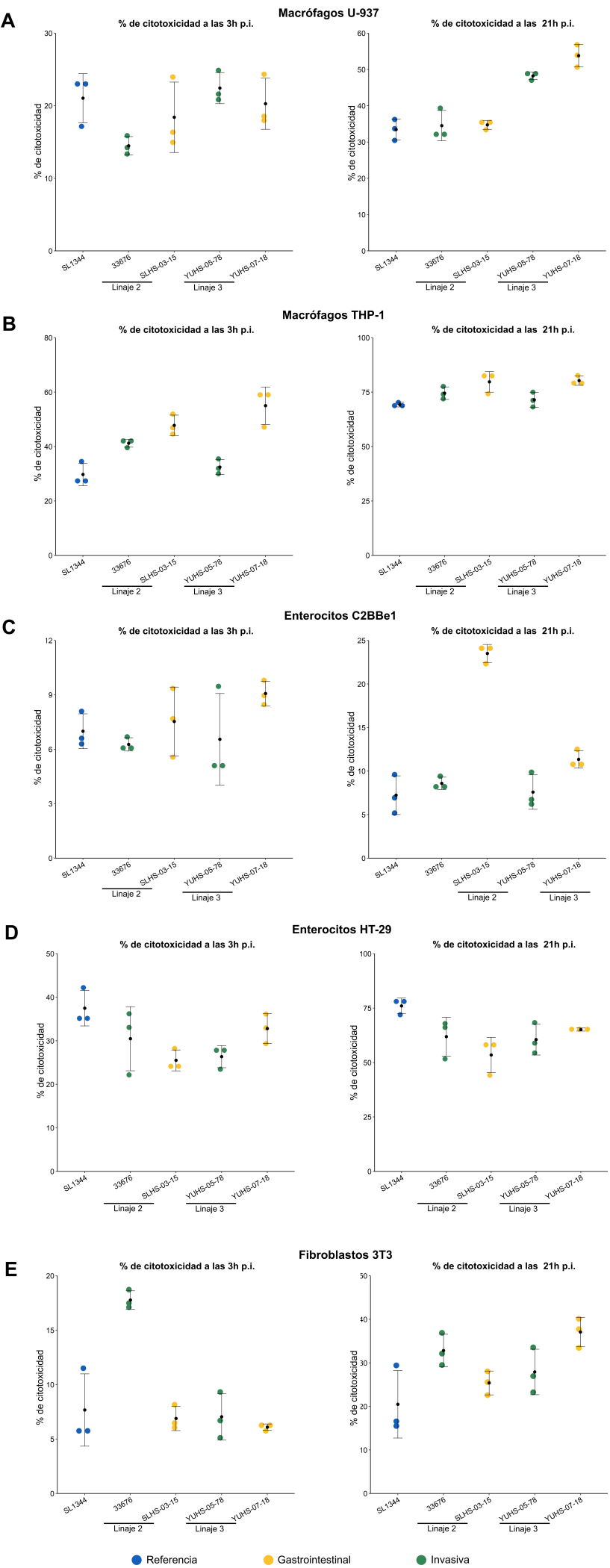


**Anexo 7| Replicación de las cepas NA-ST213 en células eucariotas.** U-937 (A), THP-1 (B), C2BBel (C), HT-29 (D), y fibroblastos 3T3 (E) Se infectaron con las cepas NA-ST213 y ST19. La replicación se midió usando ensayos de protección a los aminoglucósidos. Estos datos son los mismos que los de la **Figura 15**, mostrados como CFU/mL en lugar de como tasas de replicación (p.i.; post-infección).



**Anexo 8| Citotoxicidad de las cepas *S. Typhimurium* en células eucariotas.** U-937 **A.**, THP-1 **B.**, C2BBel **C.**, HT-29 **D.**, y fibroblastos 3T3 **E.** se infectaron con las cepas de interés y se siguió el protocolo para los ensayos de protección a aminoglucósidos. La liberación de lactato deshidrogenasa se cuantificó en los sobrenadantes como una medida indirecta de la citotoxicidad. Se evaluaron dos tiempos post infección (p.i.), 3h y 21h. Cada punto representa un experimento independiente con dos replicas técnicas.



**Anexo 9| Supuestos pseudogenes identificados en las cepas representativas de los genotipos ST213, ST34 y ST19.** Árbol de máxima verosimilitud basado en polimorfismos de un solo nucleótido acoplado la preseencia (negro), ausencia (blanco) de supuestos psudogenes en los genomas estudiados.





**Anexo 10! Alineamiento del profago Gifsy-1 en cepas de Typhimurium.** Se alinearon las regiones para encontrar al profago Gifsy-1 en las cepas ST213 vs el profago contenido en la cepa de referencia SL1344, las cepas YUHS-05-78 y 33676 contuvieron un profago con diferente al *Gifsy-1* en esa posición, mientras que las 3 cepas restantes analizadas no contenían ningún profago o rastros del profago *Gifsy-1*. El alineamiento fue realizado con MAUVE.